

INSTITUTO TECNOLÓGICO Y DE ESTUDIOS SUPERIORES DE  
OCCIDENTE

TRANSPORTE ELECTRÓNICO EN NANOESTRUCTURAS  
PRIMAVERA 2019



ITESO, Universidad  
Jesuita de Guadalajara

PARTÍCULA LIBRE  
GRÁFICAS DE LA FUNCIÓN DE ONDA

CHIÑAS FUENTES KARINA

NT704804

PROFESOR: GUSTAVO MONTES CABRERA

TLAQUEPAQUE, JALISCO  
VIERNES, 22/FEBRERO/2019

## Partícula Libre: Gráficas de la Función de Onda

Sabiendo que la función de onda está dada por,

$$\Psi(x, t) = (2\pi\sigma_o^2)^{-1/4} \frac{\sigma_o}{\tilde{\sigma}_o(t)} \exp \left[ -\frac{1}{4\tilde{\sigma}_o(t)} (x - x_o - 2i\sigma_o^2 k_o)^2 - \sigma_o^2 k_o^2 + ik_o x \right], \quad (1)$$

donde,

$$\tilde{\sigma}_o(t) = \left( \sigma_o^2 + \frac{i\hbar t}{2m} \right)^{1/2}, \quad (2)$$

y,

$$\Psi_o(x) = \Psi(x, t = 0) = (2\pi\sigma_o^2)^{-1/4} \exp \left[ -\frac{1}{4\sigma_o^2} (x - x_o)^2 + ik_o x \right], \quad (3)$$

es posible graficar la parte real e imaginaria de la función de onda. A continuación se muestra el proceso.

Primero, abordo la importancia de expresar a  $\tilde{\sigma}_o(t)$  como la suma de un número real con la suma de otro número real multiplicado por i. Para ello, utilizo la expresión de

$$z^{1/n} = |z|^{1/n} \left[ \cos \left( \frac{1}{n} (\theta + 2k\pi) \right) + i \sin \left( \frac{1}{n} (\theta + 2k\pi) \right) \right],$$

en ese caso:  $z = \sigma_o^2 + i\frac{\hbar t}{2m}$ ,  $\theta = \arctan \left( \frac{\hbar t}{2\sigma_o^2 m} \right)$ ,  $n = 2$  y  $k = 0, 1$ . Entonces, se tendrá,

$$\tilde{\sigma}_o^{(k)}(t) = \left( \sigma_o^4 + \left( \frac{\hbar t}{2m} \right)^2 \right)^{1/4} \left[ \cos \left( \frac{1}{n} (\theta + 2k\pi) \right) + i \sin \left( \frac{1}{n} (\theta + 2k\pi) \right) \right]. \quad (4)$$

Al mismo tiempo, es posible expresarlo como,

$$\tilde{\sigma}_o^{(k)}(t) = \tilde{\sigma}_{oRe}^{(k)} + i\tilde{\sigma}_{oIm}^{(k)}, \quad (5)$$

donde

$$\tilde{\sigma}_{oRe}^{(k)} = \left( \sigma_o^4 + \left( \frac{\hbar t}{2m} \right)^2 \right)^{1/4} \left[ \cos \left( \frac{1}{n} (\theta + 2k\pi) \right) \right] \quad (6)$$

y

$$\tilde{\sigma}_{oIm}^{(k)} = \left( \sigma_o^4 + \left( \frac{\hbar t}{2m} \right)^2 \right)^{1/4} \left[ \sin \left( \frac{1}{n} (\theta + 2k\pi) \right) \right]. \quad (7)$$

De la misma forma, igual es posible poner la ec. (4) como

$$\left( \tilde{\sigma}_o^{(k)}(t) \right)^{-1} = |\tilde{\sigma}_o^{(k)}(t)|^{-1} \exp(-i\Omega_k), \quad (8)$$

donde,

$$\Omega_k = \arctan \left( \frac{\tilde{\sigma}_{oRe}^{(k)}}{\tilde{\sigma}_{oIm}^{(k)}} \right). \quad (9)$$

No obstante, para  $\Psi(x, t)$  va a ser necesario tener su inverso, es por ello que la ec. (8) se escribió de esa forma. Ahora, retomando la ec. (1), se podría ver como

$$\Psi(x, t) = (2\pi\sigma_o^2)^{-1/4} \sigma_o |\tilde{\sigma}_o^{(k)}(t)|^{-1} \exp \left[ -\frac{a_k}{4} \left( \tilde{\sigma}_{oRe}^{(k)} + i\tilde{\sigma}_{oIm}^{(k)} \right) (x - x_o - 2i\sigma_o^2 k_o)^2 - \sigma_o^2 k_o^2 + ik_o x - i\Omega_k \right],$$

si llamamos parte del argumento de la exponente como

$$f(x, t) = -\frac{a_k}{4} \left( \tilde{\sigma}_{oRe}^{(k)} + i\tilde{\sigma}_{oIm}^{(k)} \right) (x - x_o - 2i\sigma_o^2 k_o)^2 + ik_o x, \quad (10)$$

donde

$$a_k = \left[ \tilde{\sigma}_{oRe}^{2(k)} - i\tilde{\sigma}_{oIm}^{2(k)} \right]^{-1}, \quad (11)$$

al enfocarnos únicamente en el producto que involucra a los complejos,

$$\left( \tilde{\sigma}_{oRe}^{(k)} + i\tilde{\sigma}_{oIm}^{(k)} \right) (x - x_o - 2i\sigma_o^2 k_o)^2 = \left( \tilde{\sigma}_{oRe}^{(k)} + i\tilde{\sigma}_{oIm}^{(k)} \right) \left( (x - x_o)^2 - 4\sigma_o^2 k_o (x - x_o) - 4\sigma_o^4 k_o^2 \right).$$

Se sabe que

$$AB = (A_1 + iA_2)(B_1 + iB_2) = (A_1B_1 - A_2B_2) + i(A_2B_1 + A_1B_2),$$

si decimos que

$$A = \tilde{\sigma}_{oRe}^{(k)} + i\tilde{\sigma}_{oIm}^{(k)},$$

y que

$$B = \left( (x - x_o)^2 - 4\sigma_o^4 k_o^2 \right) - i4\sigma_o^2 k_o (x - x_o),$$

se va a tener que

$$\text{Re}(AB) = (x - x_o)^2 \tilde{\sigma}_{oRe}^{(k)} - 4\sigma_o^4 k_o^2 \tilde{\sigma}_{oRe}^{(k)} - 4\sigma_o^2 k_o (x - x_o) \tilde{\sigma}_{oIm}^{(k)}, \quad (12)$$

y

$$\text{Im}(AB) = (x - x_o)^2 \tilde{\sigma}_{oIm}^{(k)} - 4\sigma_o^4 k_o^2 \tilde{\sigma}_{oIm}^{(k)} - 4\sigma_o^2 k_o (x - x_o) \tilde{\sigma}_{oRe}^{(k)}, \quad (13)$$

Por lo tanto

$$f(x, t) = f_{Re} + if_{Im} = -\frac{a_k}{4} \text{Re}(AB) + i \left[ k_o x - \frac{a_k}{4} \text{Im}(AB) \right], \quad (14)$$

haciendo que  $\Psi(x, t)$  pueda ser expresada como

$$\Psi(x, t) = \text{Re}(\Psi(x, t)) + i\text{Im}(\Psi(x, t)),$$

donde

$$\text{Re}(\Psi(x, t)) = \frac{\alpha}{|\tilde{\sigma}_o|} \cos(\Omega_k + f_{\text{Im}}^k) \exp[f_{\text{Re}}^k - \sigma_o^2 k_o^2],$$

$$\text{Im}(\Psi(x, t)) = \frac{\alpha}{|\tilde{\sigma}_o|} \sin(\Omega_k + f_{\text{Im}}^k) \exp[f_{\text{Re}}^k - \sigma_o^2 k_o^2],$$

donde,

$$\alpha = (2\pi\sigma_o^2)^{-1/4} \sigma_o$$

Haciendo que  $\Psi(x, t)$  ya se pueda graficar, a continuación presento un código que grafica los resultados.

```

import math
import numpy as np
import matplotlib.pyplot as plt
from numpy import pi, sin, cos, sqrt
from math import factorial, exp, atan
from matplotlib.pyplot import savefig
import matplotlib.path_effects as path_effects

i = complex(0,1)

x_i = -10
x_f = 10
x_o = -1
k_o = 1

sigma = 0.4
h_bar = 1
m = 1

tsigma = lambda t: (sigma**2 + i*((h_bar*t)/(2*m)) )**(1/2)
alpha = lambda t: ((2*pi*(sigma**2))**(-1/4))*sigma*(1/tsigma(t))

psi_o = lambda x: ((2*pi*(sigma**2))**(-1/4))*\
exp( -(1/(2*sigma))**2)*((x-x_o)**2) + i*k_o*x )

Re_psi_o = lambda x: psi_o(x).real
Im_psi_o = lambda x: psi_o(x).imag
Mg_psi_o = lambda x: ((2*pi*(sigma**2))**(-1/2))*\
exp( -(1/(sqrt(2)*sigma))**2)*((x-x_o)**2))

Psi = lambda x,t: alpha(t)*(exp((-1/(4*tsigma(t))))*\
((x-x_o-i*(2*k_o*(sigma**2)) )**2)-(sigma*k_o)**2+i*k_o*x))

Re_Psi = lambda x, t: Psi(x,t).real
Im_Psi = lambda x, t: Psi(x,t).imag
Mg_Psi = lambda x, t: Re_Psi(x,t)*Re_Psi(x,t) + Im_Psi(x,t)*Im_Psi(x,t)

X = np.linspace(x_i,x_f,500)

RePSI_o = np.zeros(len(X))
ImPSI_o = np.zeros(len(X))
MgPSI_o = np.zeros(len(X))

RePSI1 = np.zeros(len(X))
RePSI2 = np.zeros(len(X))
RePSI3 = np.zeros(len(X))
RePSI4 = np.zeros(len(X))
RePSI5 = np.zeros(len(X))
RePSI6 = np.zeros(len(X))

```

```

RePSI7 = np.zeros(len(X))

ImPSI1 = np.zeros(len(X))
ImPSI2 = np.zeros(len(X))
ImPSI3 = np.zeros(len(X))
ImPSI4 = np.zeros(len(X))
ImPSI5 = np.zeros(len(X))
ImPSI6 = np.zeros(len(X))
ImPSI7 = np.zeros(len(X))

MgPSI1 = np.zeros(len(X))
MgPSI2 = np.zeros(len(X))
MgPSI3 = np.zeros(len(X))
MgPSI4 = np.zeros(len(X))
MgPSI5 = np.zeros(len(X))
MgPSI6 = np.zeros(len(X))
MgPSI7 = np.zeros(len(X))

T = 1

for l in range(len(X)):

    RePSI_o[l] = Re_psi_o(X[l])
    ImPSI_o[l] = Im_psi_o(X[l])
    MgPSI_o[l] = Mg_psi_o(X[l])

    RePSI1[l] = Re_Psi(X[l],T)
    RePSI2[l] = Re_Psi(X[l],T+1)
    RePSI3[l] = Re_Psi(X[l],T+3)
    RePSI4[l] = Re_Psi(X[l],T+5)
    RePSI5[l] = Re_Psi(X[l],T+7)
    RePSI6[l] = Re_Psi(X[l],T+9)
    RePSI7[l] = Re_Psi(X[l],T+49)

    ImPSI1[l] = Im_Psi(X[l],T)
    ImPSI2[l] = Im_Psi(X[l],T+1)
    ImPSI3[l] = Im_Psi(X[l],T+3)
    ImPSI4[l] = Im_Psi(X[l],T+5)
    ImPSI5[l] = Im_Psi(X[l],T+7)
    ImPSI6[l] = Im_Psi(X[l],T+9)
    ImPSI7[l] = Im_Psi(X[l],T+49)

    MgPSI1[l] = Mg_Psi(X[l],T)
    MgPSI2[l] = Mg_Psi(X[l],T+1)
    MgPSI3[l] = Mg_Psi(X[l],T+3)
    MgPSI4[l] = Mg_Psi(X[l],T+5)
    MgPSI5[l] = Mg_Psi(X[l],T+7)
    MgPSI6[l] = Mg_Psi(X[l],T+9)
    MgPSI6[l] = Mg_Psi(X[l],T+49)

```

```

titulo = "SOLUCION DE PARTICULA LIBRE"

sstyle = "seaborn-poster"
plt.style.use(sstyle)
plt.rc('text', usetex = True)
plt.rc('font', family = 'serif')

plt.figure(figsize = (20,10))
plt.plot(X, RePSI_o, label = "Re$(\\psi_o(x))$", linewidth = 3.5 )
plt.plot(X, ImPSI_o, label = "Im$(\\psi_o(x))$", linewidth = 3.5 )
plt.plot(X, MgPSI_o, label = "$|\\psi_o(x)|^2$", linewidth = 3.5 )

plt.suptitle(titulo + "\\n Tiempo = 0", fontsize=40)
plt.xlabel("$x$") plt.ylabel("$\\psi_o(x)$")
plt.legend()
plt.grid()
##plt.savefig( "Psi_0" + ".png", format = "png")
plt.show()

plt.figure(figsize = (20,10))
plt.plot(X, RePSI1, label = "$t$= " + str(T) + "s", linewidth = 3.5 )
plt.plot(X, RePSI2, label = "$t$= " + str(T+1) + "s", linewidth = 3.5 )
plt.plot(X, RePSI3, label = "$t$= " + str(T+3) + "s", linewidth = 3.5 )
plt.plot(X, RePSI4, label = "$t$= " + str(T+5) + "s", linewidth = 3.5 )
plt.plot(X, RePSI5, label = "$t$= " + str(T+7) + "s", linewidth = 3.5 )
plt.plot(X, RePSI6, label = "$t$= " + str(T+9) + "s", linewidth = 3.5 )
plt.plot(X, RePSI7, label = "$t$= " + str(T+49)+ "s", linewidth = 3.5 )

plt.suptitle(titulo + "\\n Parte Real", fontsize=40)
plt.xlabel("$x$")
plt.ylabel("Re$(\\Psi(x,t))$")
plt.legend()
plt.grid()
##plt.savefig( "psi_o" + ".png", format = "png")
plt.show()

plt.figure(figsize = (20,10))
plt.plot(X, ImPSI1, label = "$t$= " + str(T) + "s", linewidth = 3.5 )
plt.plot(X, ImPSI2, label = "$t$= " + str(T+1) + "s", linewidth = 3.5 )
plt.plot(X, ImPSI3, label = "$t$= " + str(T+3) + "s", linewidth = 3.5 )
plt.plot(X, ImPSI4, label = "$t$= " + str(T+5) + "s", linewidth = 3.5 )
plt.plot(X, ImPSI5, label = "$t$= " + str(T+7) + "s", linewidth = 3.5 )
plt.plot(X, ImPSI6, label = "$t$= " + str(T+9) + "s", linewidth = 3.5 )
plt.plot(X, ImPSI7, label = "$t$= " + str(T+49)+ "s", linewidth = 3.5 )

plt.suptitle(titulo + "\\n Parte Imaginaria", fontsize=40)
plt.xlabel("$x$")
plt.ylabel("Im$(\\Psi(x,t))$")
plt.legend()
plt.grid()
##plt.savefig( "Im_psi" + ".png", format = "png")

```

```

plt.show()

plt.figure(figsize = (20,10))
plt.plot(X, MgPSI1, label = "$t$= " + str(T) + "s", linewidth = 3.5 )
plt.plot(X, MgPSI2, label = "$t$= " + str(T+1) + "s", linewidth = 3.5 )
plt.plot(X, MgPSI3, label = "$t$= " + str(T+3) + "s", linewidth = 3.5 )
plt.plot(X, MgPSI4, label = "$t$= " + str(T+5) + "s", linewidth = 3.5 )
plt.plot(X, MgPSI5, label = "$t$= " + str(T+7) + "s", linewidth = 3.5 )
plt.plot(X, MgPSI6, label = "$t$= " + str(T+9) + "s", linewidth = 3.5 )
plt.plot(X, MgPSI7, label = "$t$= " + str(T+49)+ "s", linewidth = 3.5 )

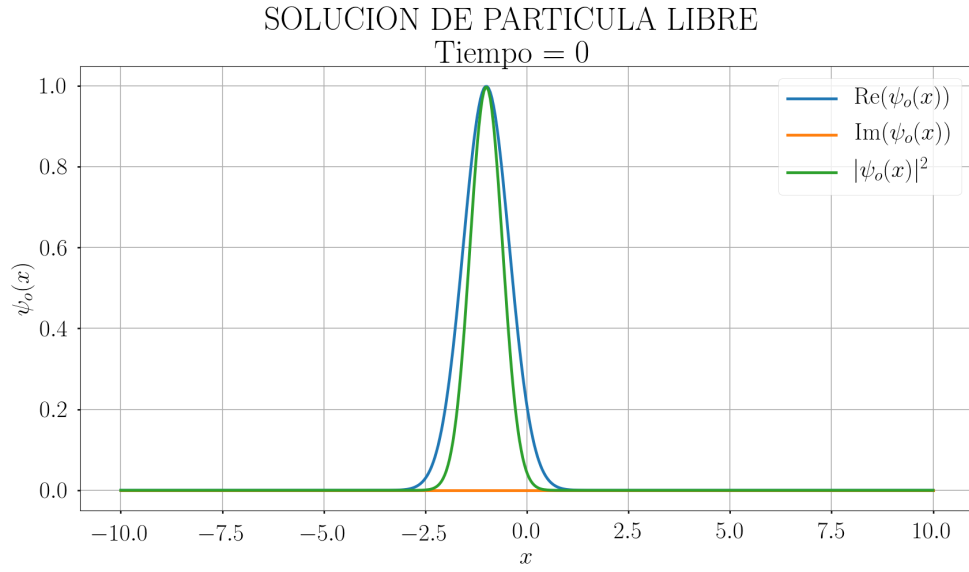
plt.suptitle(titulo + "\n Magnitud al Cuadrado", fontsize=40)
plt.xlabel("$x$")
plt.ylabel("$|\Psi(x,t)|^2$")
plt.legend()
plt.grid()
##plt.savefig( "mg_psi" + ".png", format = "png")
plt.show()

```

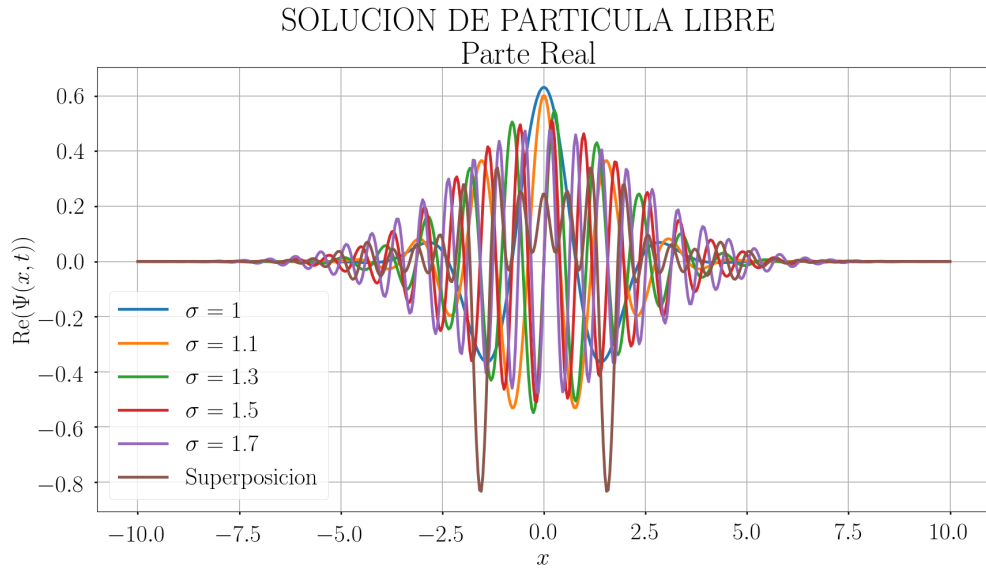


Los resultados de las gráficas fueron los siguientes.

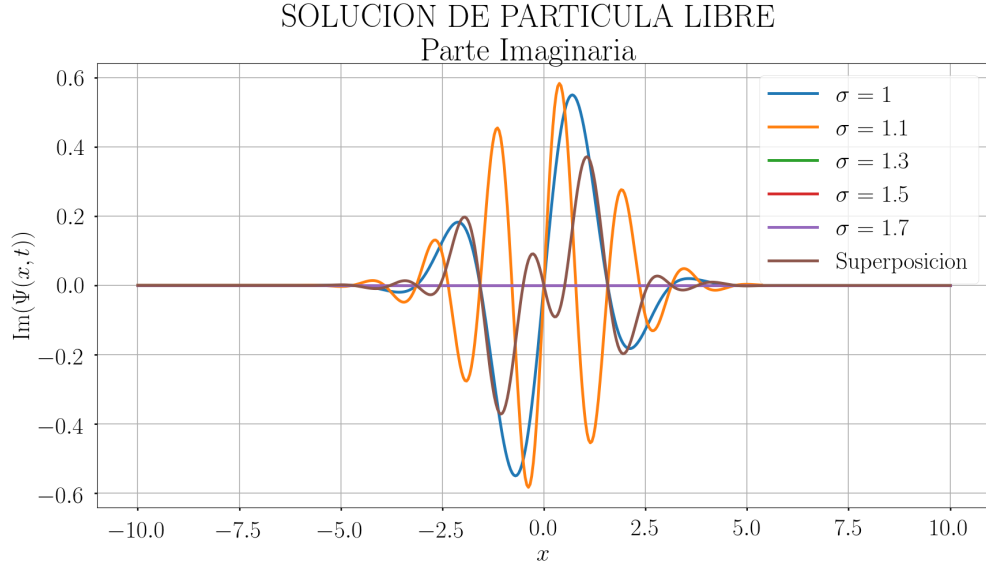
- Para  $\Psi_o(x)$  se tiene



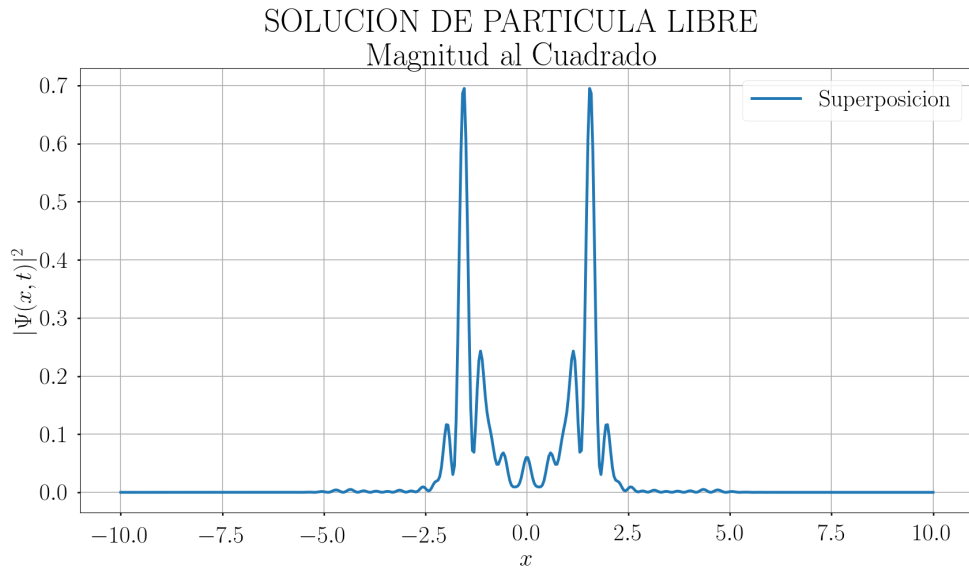
- Para la parte real de  $\Psi(x, t)$ , se tiene



- Para la parte imaginaria de  $\Psi(x, t)$ , se tiene



- Para la magnitud al cuadrado de  $\Psi(x, t)$ , se tiene



Es posible notar que la función de onda decae rápidamente en el tiempo, haciendo que cada vez haya la misma probabilidad de encontrar a la partícula en cualquier  $x$ .